УДК 004.021

Алгоритм HHL: обзор, принцип работы, примеры использования Л.С. Амирханов

Научный руководитель: к.ф.-м.н. Б.С. Мерзликин Национальный исследовательский Томский политехнический университет, Россия, г. Томск, пр. Ленина, 30, 634050 E-mail: dsa30@tpu.ru

HHL algorithm: overview, operating principle, examples of use

D.S. Amirkhanov

Scientific Supervisor: Ph.D. B.S. Merzlikin Tomsk Polytechnic University, Russia, Tomsk, Lenin str., 30, 634050

E-mail: dsa30@tpu.ru

Abstract. We consider a short overview of the quantum algorithm Harrow-Hasidim-Lloyd (HHL) for solving system of linear equations. We provide a mathematical formulation of the algorithm, the corresponding quantum circuit, and discuss examples of application the algorithm to solve a system of linear equations. We implement the algorithm under consideration using a simulation quantum computer, the results of simulation we compare with the classical solution algorithm for linear systems.

Key words: Quantum computing, qubit, computational complexity, solutions of systems of linear equations.

Введение

Системы линейных алгебраически уравнений (СЛАУ) играют огромную роль в науке и часто встречаются в физике, биологии, экономике, инженерных задачах. Классические способы решения СЛАУ размера $N \times N$, например, методы Гаусса и Крамера, требуют полиномиального времени для решения, то есть имеют вычислительную сложность $O(n^3)$ и $O(n^4)$ соответственно. В случае больших систем уравнений получить решение за разумное время не представляется возможным: к таким задачам можно отнести, например, моделирования потока в трещинах горной породы [1] или алгоритмы машинного обучения [2]. В таких ситуациях полностью раскрывается преимущество квантовых вычислительных алгоритмов перед классическими, поскольку они способны обеспечить экспоненциальное ускорение при решении некоторых задач. К таким алгоритмам относится алгоритм Харроу-Хассидим-Ллойда (ННL), который, при условии разряженной СЛАУ с числом обусловленности k, имеет вычислительную сложность $O(\log(N) k^2)$, где N — число переменных в СЛАУ [3].

Цель работы – изучение работы алгоритма HHL и его моделирование на классическом компьютере.

Экспериментальная часть

СЛАУ может быть представлена следующим образом:

$$A\vec{x} = \vec{b},\tag{1}$$

где A — матрица размера $N \times N$, \vec{x} и \vec{b} — вектора размерности N. Для простоты предполагается, что $N=2^n$, где n — число кубит в квантовой схеме. \vec{x} — неизвестный вектор, A и \vec{b} известны. Тогда, вектор \vec{x} может быть найдет просто как:

$$\vec{x} = A^{-1}\vec{b} \tag{2}$$

Предполагается, что матрица А эрмитова. В случае квантовых алгоритмов (1) может быть переписано в нотациях Дирака, а именно $A|x\rangle = |b\rangle$, тогда (2) запишется как $|x\rangle = A^{-1}|b\rangle$.

Далее кратко рассмотрим математические основы алгоритма ННL, на рис. 1 приведена схема данного квантового алгоритма.

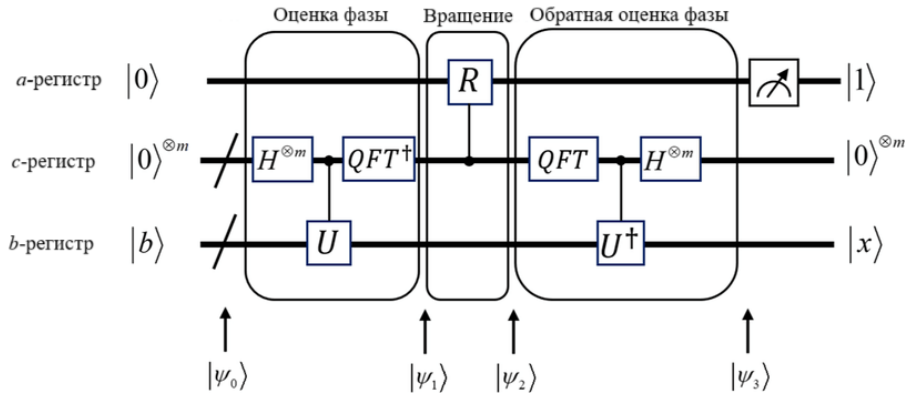


Рис. 1. Схема квантового алгоритма ННС [4]

Первым этапом алгоритма является приготовление состояния, в результате чего состояние системы будет:

$$|\Psi_0\rangle = |0\rangle|0\rangle^{\otimes m}|b\rangle \tag{3}$$

 $|\Psi_0\rangle=|0\rangle|0\rangle^{\otimes\,m}|b\rangle$ (3) Вторым идет модуль алгоритма квантовой оценки фазы (*QPE*): тактовые кубиты переводятся в состоянии суперпозиции при помощи гейта Адамара Н, затем к кубитам b-регистра применяется оператор управляемого вращения U, кубиты c-регистра являются контрольными. Последней операцией в рамках QPE являются операция обратного квантового преобразования Фурье (IQFT или QFT^{\dagger}), применяемого к кубитам c-регистра, в результате чего состояние системы после *QPE* запишется следующим образом:

$$|\Psi_1\rangle = \sum_{j=1}^{N} \beta_j |\phi_j\rangle |u_j\rangle |0\rangle \tag{4}$$

Следующий этап: операция управляемого вращения R, переводящая систему в следующее состояние:

$$|\Psi_2\rangle = \sum_{j=1}^N \beta_j \left(\sqrt{1 - \frac{C^2}{\phi_j^2}} |0\rangle + \frac{C}{\phi_j} |1\rangle \right) |\phi_j\rangle |u_j\rangle |0\rangle \tag{5}$$

Последним блоком является блок обратной квантовой оценки фазы, который переводит систему в состояние:

$$|\Psi_3\rangle = \sum_{j=1}^N \beta_j \left(\sqrt{1 - \frac{C^2}{\phi_j^2}} |0\rangle + \frac{C}{\phi_j} |1\rangle \right) |0\rangle^{\otimes m} |u_j\rangle |0\rangle \tag{6}$$

Как итог, в том случае, если кубит из a-регистра измеряется как $|1\rangle$, кубиты b-регистра коллапсируют в $|x\rangle = C \sum_{j=1}^{N} {\beta_j \choose \phi_j} |u_j\rangle$. Таким образом, получаем исходный вектор \vec{x} , определяемый с точностью до нормировочной константы C [4, 5].

Моделирование алгоритма будет проводится на классическом компьютере на языке программирования Python, с использованием библиотеки для имплементации квантовых вычислений Qiskit. Для получения классического решения использовалась библиотека Scipy. В целях тестирования была взята следующая система линейных уравнений:

$$2x_1 + (1+i)x_2 + (9+2i)x_3 = 4+i$$

$$(1-i)x_1 + 5x_2 + (4+6i)x_3 + (3-2i)x_4 = 1$$

$$(9-2i)x_1 + (4-6i)x_2 + 10x_3 + (1+7i)x_4 = -i$$

$$(3+2i)x_2 + (1-7i)x_3 + 4x_4 = 7+3i$$
(*)

Как было указано выше, систему уравнений в матричной форме можно представить как (1). Необходимо найти решение в виде вектора (2).

Результаты

Рассмотрим результаты работы классического алгоритма (с точностью до тысячных):

$$\vec{x}_c = (1.863 - 1.441i, -0.633 - 0.482i, 0.154 - 0.514i, 1.033 + 1.588i)$$

Подставляя полученное решение в (*), получим тождество. Далее рассмотрим результаты работы алгоритма HHL. В этом случае получим следующий результат:

$$\vec{x}_{hhl} = (0.320 - 0.248i, -0.108 - 0.083i, 0.027 - 0.088i, 0.118 + 0.059i)$$

На первый взгляд кажется, что результаты работы алгоритма HHL абсолютно не сходятся с решением, которое нашел классический алгоритм, и подстановка в (*) тождества не дает. Но данный алгоритм не находит точное решение СЛАУ, а возвращает функцию вектора решения, которая, в общем случае, связана с самим вектором решения через константу. Для того, чтобы избавиться от влияния констант на выходное решение, вектор \vec{x}_{hhl} на соответствующую ему норму, после чего умножим полученный вектор на соответствующую ему евклидову норму *полного* вектора решения, тогда получим:

$$\vec{x}_{hhl} = (1.866 - 1.442i, -0.631 - 0.481i, 0.154 - 0.514i, 1.033 + 1.586i)$$

Видим, что результаты практически одинаковы. Также можем оценить количество гейтов в алгоритме для решения СЛАУ $n \times n$. Результаты оценки указаны в табл. 1.

Таблица 1 Количество квантовых гейтов, необходимых для СЛАУ различного размера

Размер СЛАУ	2×2	4 × 4	8 × 8	16 × 16
Количество квантовых гейтов,	334	2593	34008	403899
необходимых для реализации HHL				

Заключение

В результате работы был изучен алгоритм ННL для решения СЛАУ на квантовом компьютере. Была проведена имплементация данного алгоритма на классическом компьютере, проведено сравнение результата работы классического алгоритма СЛАУ с работой имплементации ННL. Также важно отметить, что на существующих квантовых компьютерах невозможно реализовать алгоритм ННL, поскольку он требует большого количества квантовых гейтов для реализации.

Список литературы

- 1. Henderson J.M. и др. Quantum algorithms for geologic fracture networks // Scientific Reports. 2023. № 1 (13). Р. 2906.
- 2. Aggarwal C.C., Aggarwal LF. Lagerstrom-Fife. Linear algebra and optimization for machine learning. Cham: Springer International Publishing, 2020. P. 156.
- 3. Ambainis A. Variable time amplitude amplification and quantum algorithms for linear algebra problems // 29th International Symposium on Theoretical Aspects of Computer Science (STACS 2012), February 29th March 3rd, 2012, Paris, France, 2012. P. 636–647.
- 4. Gao F. et al. Hybrid algorithms to solve linear systems of equations with limited qubit resources // Quantum Information Processing. -2022. No 3 (21). P. 111.
- 5. Jr H.J.M., Zaman A., Wong H.Y. Step-by-Step HHL Algorithm Walkthrough to Enhance the Understanding of Critical Quantum Computing Concepts // IEEE Access. 2023. Vol. 11. P. 77117–77131.